

О ВЛИЯНИИ ВЕЛИЧИНЫ МАГНИТНОГО ПОЛЯ НА ТОРМОЖЕНИЕ α -ЧАСТИЦ

И. М. Гайсинский, А. В. Калинин, А. Е. Степанов

(Москва)

За последние 10—15 лет в проблеме управляемого термоядерного синтеза возникло и развилось новое направление — лазерный термоядерный синтез (ЛТС). В связи с этим появилось большое количество работ, определяющих требования к конструкциям камер термоядерных реакторов ЛТС. Большое внимание разработчиков привлекает концепция реактора с защитой первой стенки магнитным полем. В отличие от схемы традиционного реактора с магнитным удержанием плазмы, где высокое магнитное давление создается сильными полями, здесь поле используется для торможения высокоэнергетических α -частиц до тепловых скоростей до того момента, как они достигнут внутренней стенки камеры. Впервые концепция реакторов ЛТС с «магнитной стенкой» была предложена в работе [1], где авторы высказали предложение заменить считающуюся уже традиционной в ЛТС камеру сферической геометрии на цилиндрическую, в которой поле создается соленоидом, уложенным вдоль ее цилиндрической части. Несмотря на привлекательность данной конструкции, физические процессы, связанные с механизмом взаимодействия термоядерных α -частиц, вылетающих из плотного ядра, с аксиальным магнитным полем не были достаточно изучены.

1. Структура фронта разлетающихся заряженных частиц и его электрическая проводимость. При термоядерном микровзрыве (энергия ~ 7 мДж) выделяется $N_\alpha \sim 10^{19}$ α -частиц со средней энергией 3,5 мэВ (считаем, что, вылетая из плотного ядра зоны реакции, они незначительно тормозятся (наихудший случай для первой стенки реактора), сохранив энергию порядка 2—3 мэВ). В дальнейшем их спектр будем считать δ -образным. Из-за того что время термоядерного горения мало ($\tau_T \sim 10^{-14}$ с), первые вылетевшие α -частицы пройдут до окончания горения всего 10^{-2} см. Для того чтобы компенсировать ток α -частиц, по плазме должен протекать электронный ток. По мере вылета α -частиц из мишени ее «корона», окружающая горячее ядро, будет испускать электроны. Важно оценить масштаб разделения зарядов λ в системе, состоящей из α -частиц и электронов. Простая оценка показывает, что значение λ (при условии $\lambda \ll R$, R — радиус переднего фронта α -частиц) связано с энергией, заключенной в электростатическом поле следующим образом:

$$W = 2\pi q_\alpha N_\alpha (\lambda/R)^2,$$

где q_α — заряд α -частиц; W — энергия поля.

Если даже считать, что вся энергия α -частиц перешла в энергию поля, то и тогда вплоть до расстояний порядка нескольких метров оказывается, что $\lambda \ll 10^{-2}$ см. В действительности отставание электронов обусловлено их инерцией и трением о «корону». Из-за малости отношения m_e/M_α инерционное отставание незначительно — $\lambda \sim 8 \cdot 10^{-6}$ см. Параметр разделения из-за трения электронов о «корону» также мал:

$$\lambda^* = \frac{m_e v_e}{4n_\alpha(\bar{r}) e^2 \tau_{ee}} \sim 8 \cdot 10^{-8} R,$$

где v_e — тепловая скорость электронов «короны»; $n_\alpha(R)$ — плотность α -частиц; τ_{ee} — время электронных соударений. Для оценки взяты следующие параметры «короны»: $T_e \sim 10$ кэВ, $n_e \sim 10^{20}$ см $^{-3}$.

Таким образом, выделяющиеся α -частицы распространяются тонким слоем толщины $\delta \sim 10^{-2}$ см, заряд которого скомпенсирован и масштаб

разделения зарядов при размерах плазмоида порядка размеров камеры реактора ($R \sim 1-3$ м) $\lambda \ll \delta$. Можно увидеть, что силовые линии магнитного поля оказываются замороженными в плазменную оболочку. Для этого достаточно заметить, что характерное время диффузии поля в плазму [2] $\tau_M = 4\sigma L^2 c^{-2}$ (L — масштаб изменения магнитного поля в оболочке, $L \sim \delta$) много больше характерного времени развития процесса разлета $T_x = R_K / v_{\alpha,0} \sim 10^{-7}$ с, где R_K — радиус первой стенки реактора; $v_{\alpha,0}$ — начальная скорость разлета фронта α -частиц, соответствующая их энергии порядка 2 мэВ. Действительно, если считать проводимость плазмы классической, то $T_x \ll \tau_M \sim 10^{-5}$ с.

2. МГД-модель процесса разлета плазменной оболочки в аксиальном магнитном поле. При выводе исходной системы уравнений можно пренебречь джоулевой диссипацией тепла в плазменной сфере, расширяющейся из центра реакции к стенкам камеры, так как она мала по сравнению с кинетической энергией плазмоида $E_K = N_\alpha M_\alpha v_{\alpha,0}^2 / 2$. Действительно, так как

$$E_{дж} \simeq \int_0^{T_x} \int_{D(t)} \int \frac{|\mathbf{j}(t)|^2}{\sigma(t)} dV dt, \quad \mathbf{j} = \frac{c}{4\pi} (\nabla \times \mathbf{B}) \simeq \frac{cB_c}{4\pi\delta}$$

($D(t)$ — объем плазмоида),

то $E_{дж} \sim 5,3$ кДж при $R(t) = R_K \sim 3$ м (R_K — радиус первой стенки цилиндрической части реактора). Тогда система МГД-уравнений при условии замороженности силовых линий магнитного поля имеет вид

$$\frac{\partial \rho}{\partial t} + \operatorname{div} \rho \mathbf{v} = 0,$$

$$\rho \frac{\partial \mathbf{v}}{\partial t} = -\nabla \frac{B^2}{8\pi} + \frac{1}{4\pi} \mathbf{B} \cdot \nabla \cdot \mathbf{B}, \quad \frac{\partial \mathbf{B}}{\partial t} = \nabla \times (\nabla \times \mathbf{B}).$$

Для поля в зазоре плазменное кольцо — виток соленоида справедливы условия потенциальности

$$\operatorname{div} \mathbf{B} = 0, \quad \operatorname{rot} \mathbf{B} = 0.$$

Учитывая малость толщины оболочки плазмоида и переходя к сферическим координатам, окончательно получим следующую систему уравнений:

$$\frac{\partial N_\sigma}{\partial t} + \frac{N_\sigma}{R} \left[2 \frac{\partial R}{\partial t} + \frac{\partial R}{\partial \theta} \frac{\partial \theta}{\partial t} \right] + \frac{\partial \theta}{\partial t} \left[\frac{\partial N_\sigma}{\partial \theta} + N_\sigma \operatorname{ctg} \theta \right] + \frac{\partial}{\partial \theta} \left(\frac{\partial \theta}{\partial t} \right) N_\sigma = 0,$$

$$\frac{\partial^2 R}{\partial t^2} = R \left(\frac{\partial \theta}{\partial t} \right)^2 - \frac{|\mathbf{B}(R, \theta, t)|^2}{8\pi M_\alpha N_\sigma} \cos \vartheta, \quad \frac{\partial^2 \theta}{\partial t^2} = - \left\{ \frac{2}{R} \frac{\partial R}{\partial t} \frac{\partial \theta}{\partial t} + \frac{|\mathbf{B}(R, \theta, t)|^2}{8\pi M_\alpha N_\sigma R} \sin \vartheta \right\},$$

где $N_\sigma(\theta, t) = N(\theta, t)\delta(\theta, t)$ — поверхностная плотность частиц; $N(\theta, t)$, $\delta(\theta, t)$ — плотность частиц и толщина плазменной оболочки соответственно; ϑ — угол между радиусом-вектором и нормалью к поверхности плазмоида, определяемый выражением

$$\vartheta = \arccos \left[1 + \left(\frac{1}{R} \frac{\partial R}{\partial \theta} \right)^2 \right]^{-1/2}.$$

Решая уравнения для потенциала магнитного поля методом разделения переменных, получаем, что компоненты магнитного поля $\mathbf{B}(r, \theta, t)$ выражаются в виде

$$B_r = B_0(t) \left\{ 1 - \sum_{k=1}^{\infty} \left(\frac{R}{r} \right)^{k+2} (k+1) \frac{P_k(\cos \theta)}{\cos \theta} \Gamma_k \right\} \cos \theta,$$

$$B_\theta = -B_0(t) \left\{ 1 + \sum_{k=1}^{\infty} \left(\frac{R}{r} \right)^{k+2} \frac{dP_k(\cos \theta)}{d \cos \theta} \Gamma_k \right\} \sin \theta, \quad B_\varphi = 0,$$

где $P_k(\cos \theta)$ — полиномы Лежандра; коэффициенты Γ_k находятся из условия ортогональности силовых линий поля и нормали плазмоида на его поверхности

$$R \left[1 - \sum_{k=1}^{\infty} (k+1) \frac{P_k(\cos \theta)}{\cos \theta} \Gamma_k \right] \cos \theta + \frac{\partial R}{\partial \theta} \left[1 + \sum_{k=1}^{\infty} \frac{dP_k(\cos \theta)}{d \cos \theta} \Gamma_k \right] \sin \theta = 0.$$

Если ограничиться первыми членами разложения компонент поля по сферическим гармоникам, то получим магнитный диполь, который был рассмотрен в работе [3] при исследовании расширения сверхпроводящего плазменного облака в аксиальном поле. Модель, описанная автором, как было показано им самим, применима везде, кроме той стадии, где плазмоид начинает терять свою сферичность. Чтобы замкнуть систему уравнений, нужно выразить индукцию магнитного поля $B_0(t)$ в отсутствие плазмоида через магнитный поток $\Phi(t)$, а для последнего написать уравнение электромагнитной индукции для внешнего контура.

Так как $\Phi(t) = \int_{R(\pi/2, t)}^{R_B} |\mathbf{B}(r, \frac{\pi}{2}, t)| r dr$, то

$$B_0(t) = \frac{\Phi(t)}{\pi \left\{ R_B^2 - R^2\left(\frac{\pi}{2}, t\right) + \sum_{k=1}^{\infty} R^2\left(\frac{\pi}{2}, t\right) \Gamma_k \frac{1}{k} \frac{dP_k(\cos \theta)}{d \cos \theta} \Big|_{\theta=\frac{\pi}{2}} \left[1 - \left(\frac{R\left(\frac{\pi}{2}, t\right)}{R_B} \right)^k \right] \right\}},$$

где R_B — радиус витка соленоида. Уравнение электромагнитной индукции имеет вид

$$\frac{d\Phi}{dt} = -\frac{R^*}{L} \frac{\Phi(t)}{1 - \left[R\left(\frac{\pi}{2}, t\right) / R_B \right]^2}.$$

Начальные условия для уравнений следующие:

$$R(\theta, t)|_{t=0} = R_0, \quad \frac{\partial R}{\partial t} \Big|_{t=0} = v_{\alpha, 0}, \quad N_\sigma(\theta, t) \Big|_{t=0} = N_0 \delta = N_{\sigma, 0},$$

$$\frac{\partial \theta}{\partial t} \Big|_{t=0} = 0, \quad \Phi|_{t=0} = \pi R_B^2 B_0 = \Phi_0,$$

где B_0 — индукция внешнего магнитного поля, создаваемого соленоидом; R^* , L — сопротивление и индуктивность внешней цепи; $N_0 = \frac{N_\alpha}{4\pi R_0^2 \delta}$ —

начальная плотность плазменной оболочки; R_0 — ее начальный радиус

3. Вопросы, связанные с развитием неустойчивости Рэлея — Тэйлора. Исследование этих явлений представляется интересным, так как при развитии возмущений поверхности плазменной оболочки из-за резких перегибов может сильно уменьшиться поверхностная плотность N_σ , вследствие чего магнитное поле прорвет ее до того момента, как она успеет достаточно затормозиться.

Рассмотрим сначала возможность развития гидромагнитных неустойчивостей желобкового типа в экваториальном сечении плазмоида (плоскость (r, φ) в цилиндрических координатах). Согласно линейной теории [4], любые возмущения поверхности плазмоида в этом сечении будут неустойчивы; их инкремент определяется следующим образом:

$$\gamma = \frac{1}{4} \sqrt{\frac{2}{\pi}} B_0 (M_\alpha N_\sigma)^{-1/2} i \sqrt{k},$$

где k — волновое число. Из этого выражения видно, что возмущения с модами $k \geq 10$ успевают достаточно развиться за время $t \leq T_x$. Однако на вопрос о том, приводят ли нарастающие возмущения к разрыву плазменной оболочки, линейная теория ответа не дает. Для более детального исследования можно воспользоваться методикой, предложенной в работах [5, 6], где рассмотрен нелинейный механизм развития тейлоровской неустойчивости при схлопывании тонкостенного цилиндрического лайнера.

В нашем случае разлет плазмоида носит существенно трехмерный характер, однако качественный анализ развития неустойчивости в экваториальной плоскости плазмоида можно провести в приближении цилиндрически-симметрического разлета.

Тогда уравнение движения будет иметь вид

$$\rho \frac{\partial^2 \mathbf{r}}{\partial t^2} = \frac{B^2(r, \psi, t)}{8\pi} \left(\mathbf{e}_z \times \frac{\partial \mathbf{r}}{\partial \psi} \right),$$

где ψ — лагранжева координата, т. е. $dm = \rho d\psi$.

Подстановкой $Z = x + iy = r \exp(i\psi)$ оно приводится к виду

$$\rho \frac{\partial^2 Z}{\partial t^2} = i \frac{B^2(Z, \psi, t)}{8\pi} \frac{\partial Z}{\partial \psi}.$$

Начальные условия задаются следующим образом:

$$\begin{aligned} Z(\psi, 0) &= \exp(i\psi) - \frac{\mu^*}{k} \exp(ik\psi), \quad \frac{\partial Z}{\partial t}(\psi, 0) = \\ &= v_{\alpha,0} \left[\exp(i\psi) - \frac{\mu^*}{k} \exp(ik\psi) \right]. \end{aligned}$$

Если искать решение в виде

$$Z(\psi, t) = R(t) \left[\exp(i\psi) - \frac{\mu(t)}{k} \exp(ik\psi) \right],$$

то приходим к системе уравнений

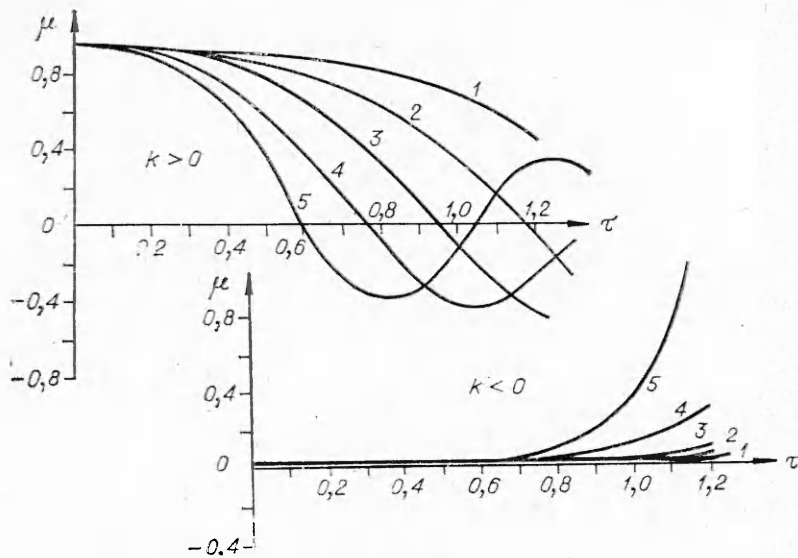
$$\frac{d^2 R}{d\tau^2} = -aR \left(\frac{1}{1-R^2} \right)^2, \quad \frac{d^2 \mu}{d\tau^2} + \frac{2}{R} \frac{dR}{d\tau} \frac{d\mu}{d\tau} + \frac{1-k}{R} \frac{d^2 R}{d\tau^2} = 0$$

с граничными условиями

$$R(0) = \frac{R_0}{R_c}, \quad \frac{dR}{d\tau} \Big|_{\tau=0} = \frac{R_R}{R_B}, \quad \mu(0) = \mu^*, \quad \frac{d\mu}{d\tau} \Big|_{\tau=0} = 0,$$

где $a = \frac{B_0^2 T_x^2 R_B^2}{4 M_\alpha N_{\sigma,0}} \delta$, τ — безразмерное время.

При $|\mu(t^*)| \geq 1$ кривая, огибающая экваториальное сечение плазмоида, становится самопересекающейся, что и является началом разрушения оболочки. Как показал численный расчет, при $B_0 = 0,2 - 0,7$ Т, $\mu^* = 0,95$ и положительных $k=4; 8; 16; 32; 64$ (кривые 1—5 на фиг. 1 соответственно) рост возмущений не приводит к гибели плазмоида до его остановки. При отрицательных k плазмод не разрушается лишь при достаточно малых



Ф и г. 1

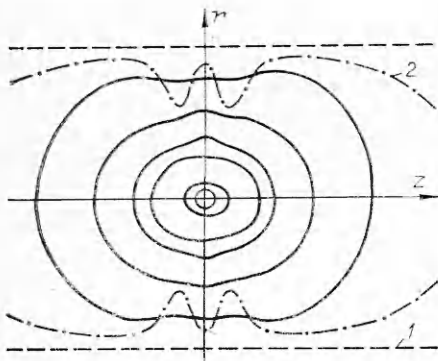
начальных амплитудах возмущения. Так, для $k_1 = -64$ необходимо, чтобы μ^* не превышало 0,01.

Вопрос о возникновении возмущений поверхности плазмоида тесно связан с предисторией процесса — симметрией сжатия и горения мишени, — поэтому требует значительно более полного рассмотрения, что представляет собой самостоятельную задачу.

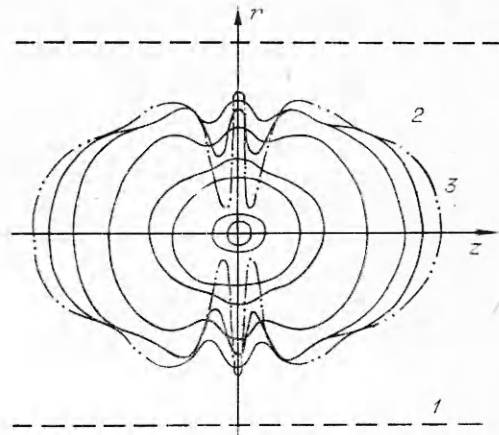
При исследовании возможности развития неустойчивости Рэля—Тэйлора «сосисочного типа» (в плоскости (r, z) — цилиндрические координаты) линейная теория дает только спектр возможных возмущений, которые успевают достаточно развиться за время $t \leq T_x$. Он определяется из условия

$$\frac{B_0^2 r_x^2}{32\pi M_\alpha N_\alpha} (9k - 8\delta k^2) \leq 1.$$

Отсюда $k \leq 74$. В связи с тем, что здесь не представляется возможным пренебречь искривлением силовых линий магнитного поля, более тонкое



Ф и г. 2

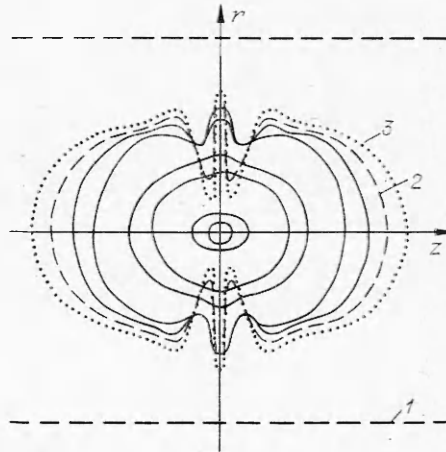


Ф и г. 3

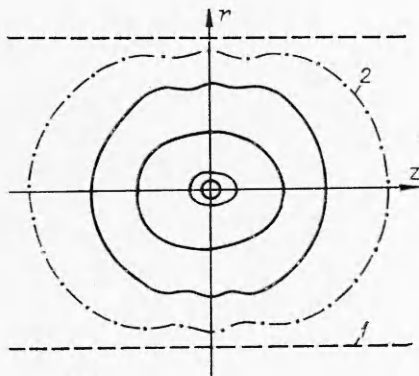
исследование провести не удастся, однако из-за неравномерного распределения магнитного давления P_m уже в начале процесса [7] начальные возмущения поверхности плазмоида возникают самопроизвольно.

4. Обсуждение результатов численного эксперимента. Уравнения МГД-модели решались численно. Был использован метод прямых [8]. Все приведенные результаты получены при начальном разбиении по углу $\Delta\theta = 3^\circ$. Проводились расчеты также с $\Delta\theta = 4,5$ и 6° . При этом результаты не изменились сколько-нибудь заметным образом. При выборе шага по времени учитывалось ограничение, накладываемое условием Куранта.

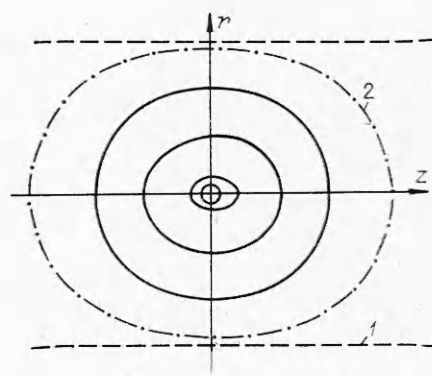
Расчет уравнений МГД-модели на ЭЦВМ проводился при следующих параметрах, характерных для данного процесса: $R_0 = 1$ см, $R_K = 3$ м, $R_B = 3,25$ и 5 м (для гибридного реактора ЛТС). Характерный параметр, определяющий потерю магнитной энергии в витках соленоида, равен $\omega = T_x \cdot R^*/L \sim 10^{-3}$ при $T_x \sim 10^{-7}$ с. При $R_K/R_B = 0,6$ расчет проведен для трех вариантов начального значения величины магнитной индукции внешнего поля $B_0 = 0,5; 0,75; 1,0$ Т (фиг. 2—4), а при $R_K/R_B = 0,925$ — для двух значений $B_0 = 0,2; 0,3$ Т (фиг. 5, 6). На фиг. 2—6 показана картина расширения плазменной оболочки в различные моменты времени (1 — первая стенка цилиндрической части реактора, 2 — геометрия оболочки на стадии полного торможения, 3 — геометрия оболочки в момент наступления ее разрыва, если он имеет место). Отсюда видно, что на определенном этапе плазмод теряет свою сферичность, что вполне естественно из-за того, что в направлении оси симметрии цилиндрической части реактора α -частицы не встречают сопротивления со стороны магнитного поля. После некоторого момента t начинается искривление поверхности оболочки (появляются впадины в углах $70^\circ < \theta < 90^\circ$, $90^\circ < \theta < 110^\circ$, $250^\circ < \theta < 270^\circ$, $270^\circ < \theta < 290^\circ$, которые могут рассматриваться, как возмущения с волновым числом $k \sim 30-50$). Как видно из фиг. 2—4, колебания возрастают вместе с величиной начальной индукции внешнего поля



Ф и г. 4



Ф и г. 5



Ф и г. 6

и уже при $B_0 \geq 0,75$ Т плазмод разрушается из-за резкого уменьшения поверхностной плотности частиц $N_\alpha(\theta, t)$ в местах перегибов до момента его полного торможения.

При увеличении отношения R_K/R_B до 0,925 для защиты первой стенки реактора уже требуется более слабое поле $B_0 \sim 0,2-0,3$ Т. При этом возмущения поверхности плазменной оболочки растут менее интенсивно (см. фиг. 5, 6), а при $B_0 \leq 0,2$ Т вообще не имеют места. Это обстоятельство является важным при проектировании реакторов цилиндрической геометрии гибридного типа с магнитной защитой первой стенки, так как уже при $R_K/R_B \leq 0,5$ Т (большой объем занимает бланкет) поле с индукцией $B_0 < 0,75$ Т неспособно затормозить термоядерные α -частицы, вылетающие из зоны реакции до тепловых скоростей, а более сильное поле разрушает плазмод еще задолго до ее полного торможения.

Поступила 27 XI 1978

ЛИТЕРАТУРА

1. Frank T., Feidwald D., Merson T., Devaney J. A laser fusion reactor concept utilizing magnetic fields for cavity wall protection.— In: Proc. of 1st Top. Meeting and the Technol. Control. Nuclear Fusion and Power Division Amer. Nuclear Soc., San Diego California, 1971.
2. Кролл Н., Трайвеллис А. Основы физики плазмы. М., «Мир», 1975.
3. Райзер Ю. П. О торможении и превращении энергии плазмы, расширяющейся в пустом пространстве, в котором имеется магнитное поле.— ПМТФ, 1963, № 6.
4. Кнопфель Г. Сверхсильные импульсные магнитные поля. М., «Мир», 1972.
5. Башилов Ю. А., Покровский С. В. Тейлоровская неустойчивость тонкой цилиндрической оболочки.— «Письма в ЖЭТФ», 1976, т. 23, вып. 8.
6. Иногамов Н. А. Модельный анализ тейлоровской неустойчивости оболочек.— «Письма в ЖЭТФ», 1977, т. 3, вып. 7.
7. Милл-Томсон Л. М. Теоретическая гидродинамика. М., «Мир», 1964.
8. Крылов В. И., Бобков В. В., Монастырский П. И. Вычислительные методы высшей математики. Т. 2. Минск, «Высш. школа», 1972.

УДК 621.365.91

ВЗРЫВОМАГНИТНЫЙ ГЕНЕРАТОР С ПЛАЗМЕННОЙ НАГРУЗКОЙ

*И. И. Диевов, Н. И. Зотов, О. П. Карпов,
Б. Г. Клоков, Б. Д. Христофоров
(Москва)*

Взрывомагнитные генераторы (ВМГ) [1—6], позволяющие с помощью взрыва получать большие импульсные токи и магнитные поля, перспективны и в качестве мощных источников электрической энергии для питания различных электрофизических установок. В последние годы появились работы, посвященные вопросу согласования ВМГ с активно-индуктивной нагрузкой, однако большинство из них имеет характер предварительных оценок, экспериментальные исследования пока немногочисленны [4—7]. Эффективная передача энергии осуществлена лишь в индуктивную нагрузку [6], а в экспериментах с плазменной и активной нагрузкой переданная в нее энергия не превосходила энергии запитки самого ВМГ. Так, в [4], где нагрузка в виде фольги из тантала включалась непосредственно в контур ВМГ, в фольгу передано 320 Дж при энергии запиточной